

FI 193 – Teoria Quântica de Sistemas de Muitos Corpos

2º Semestre de 2023

29/08/2023

Aula 8

O modelo de Heisenberg

MODELO DE HUBBARD EM SEMI-PREENCHIMENTO $n=1$, NO LIMITE $U \gg t$

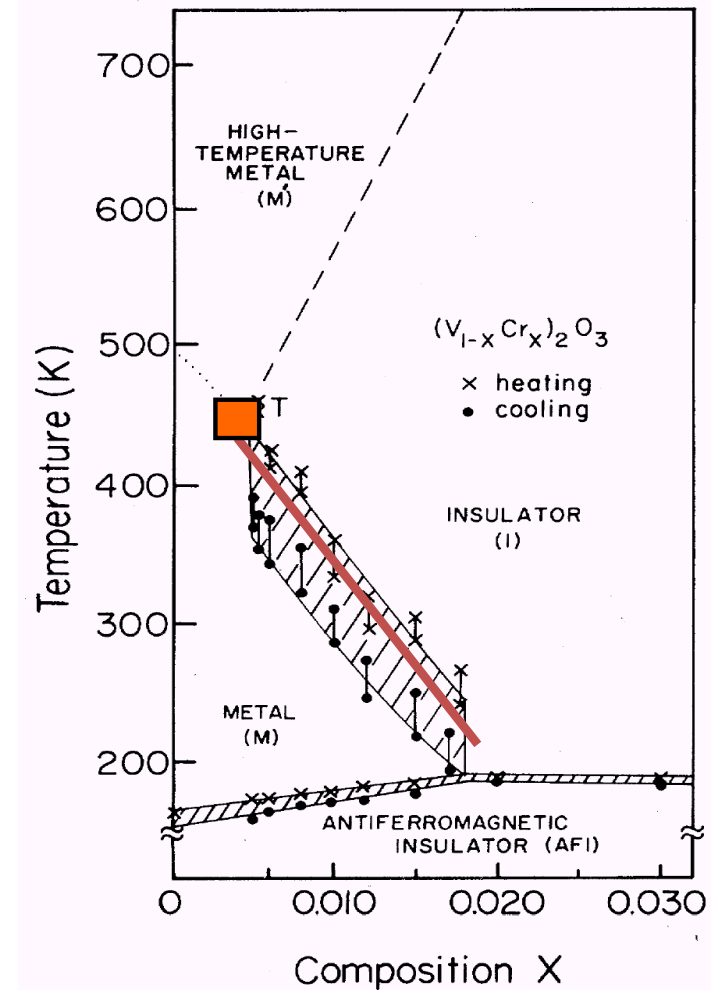
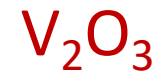
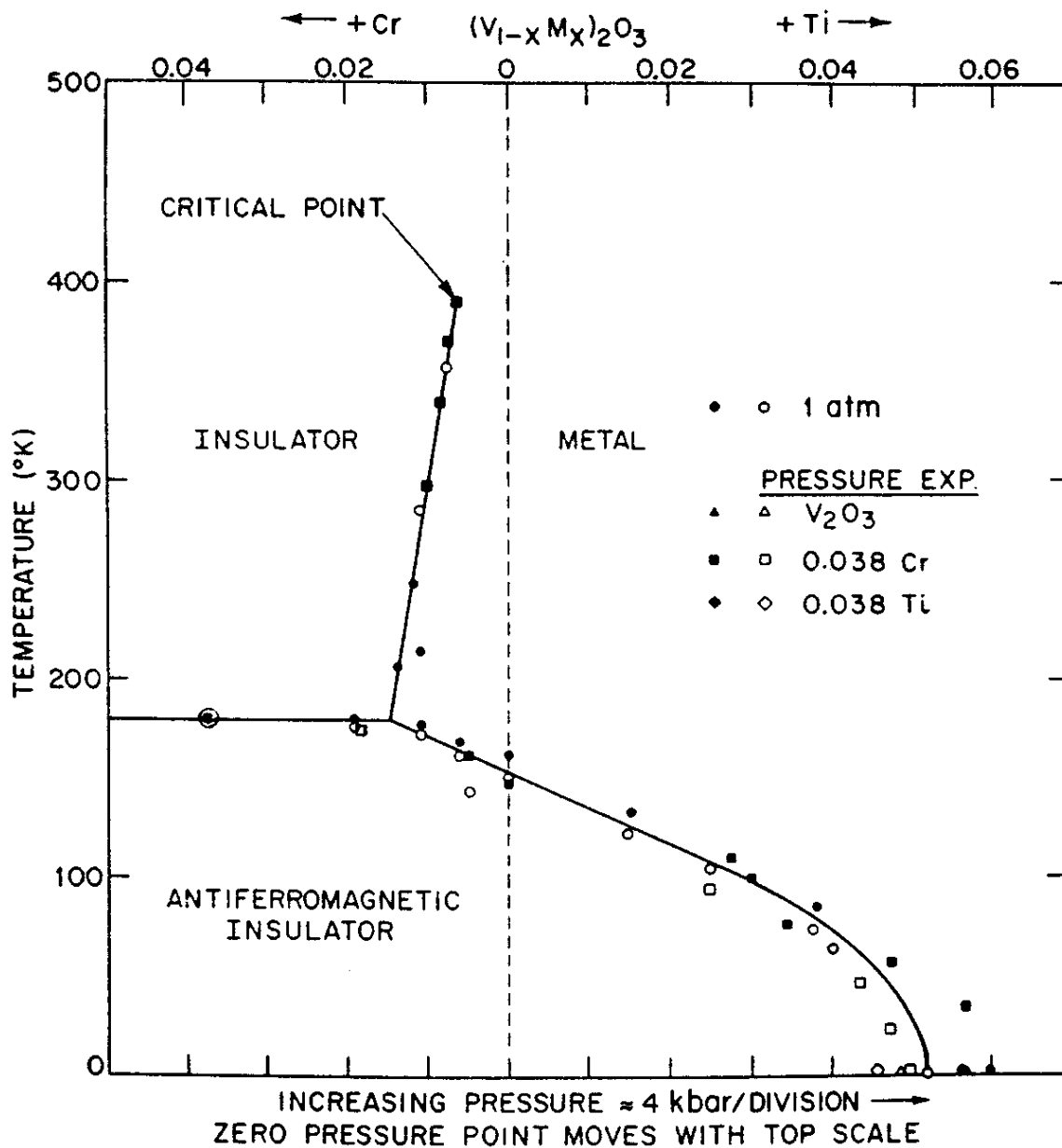
$$H = J \sum_{\langle ij \rangle} \left(\mathbf{S}_i \cdot \mathbf{S}_j - \frac{1}{4} \right)$$

$$J = \frac{4t^2}{U} > 0$$

$J > 0$: FAVORECE O AFM

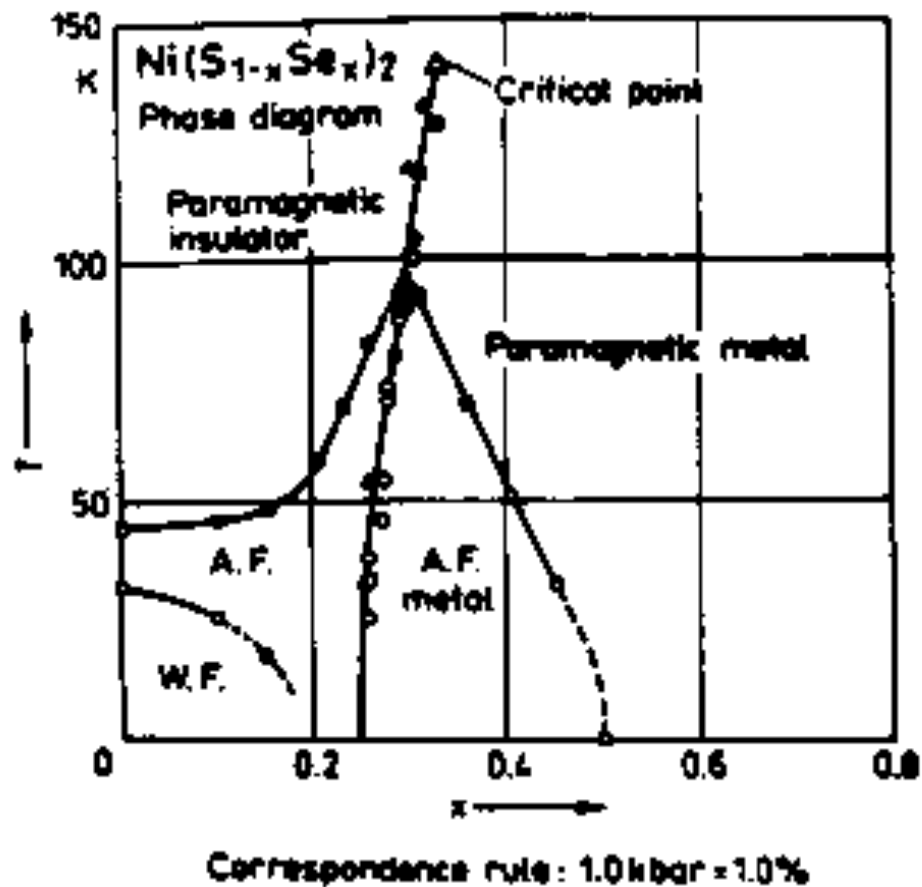
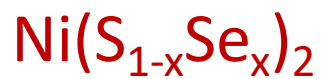
$J < 0$: " O FM

McWhan, D. B., A. Menth, J. P. Remeika, W. F. Brinkman, and T. M. Rice, 1973, Phys. Rev. B 7, 1920.



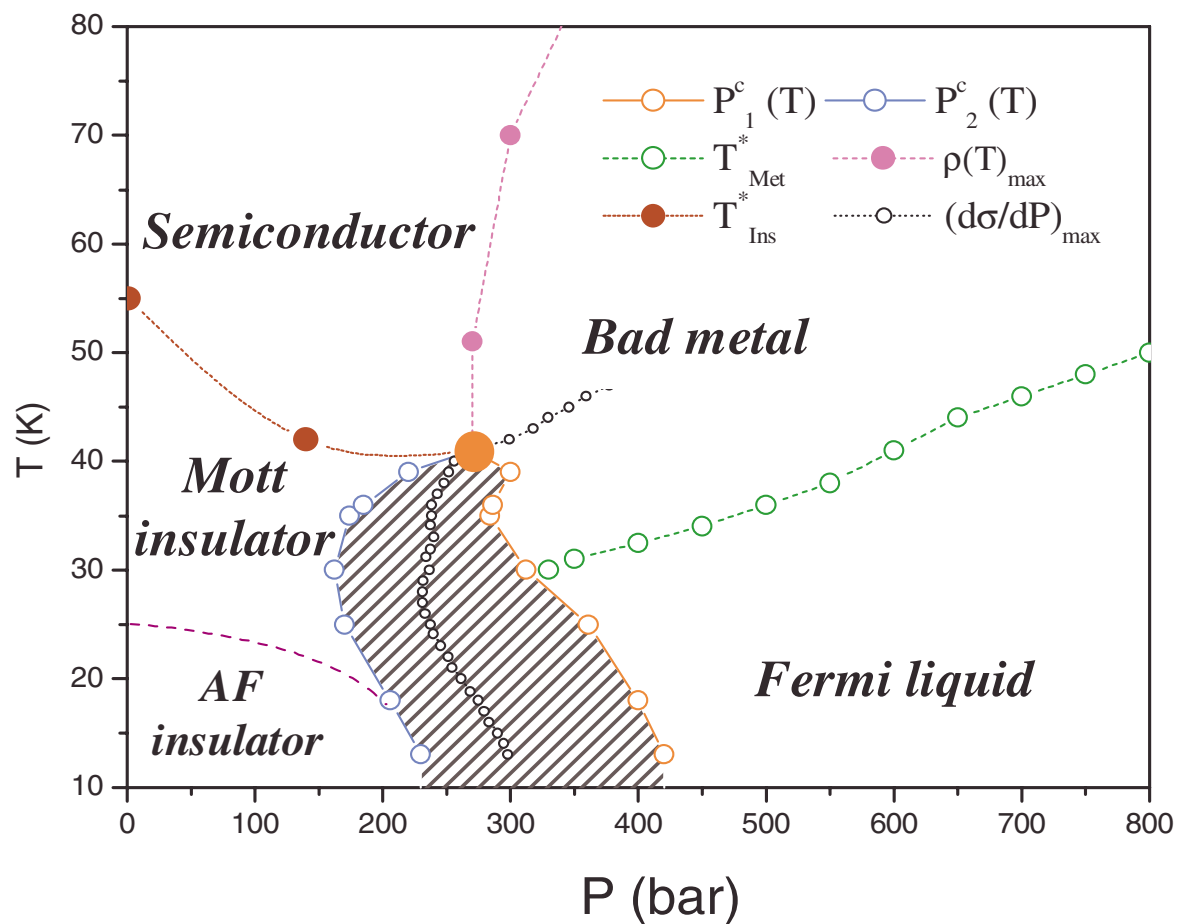
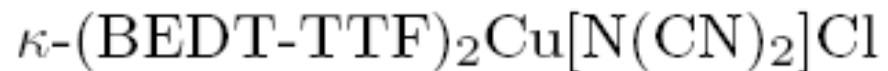
Kuwamoto, PRB '80

- Pressão aumenta t , diminui U/t , favorece o comportamento metálico.
- Pressão química: elemento de raio iônico maior/menor aumenta o parâmetro de rede e age como pressão negativa/positiva.



Czjzek *et al.*, JMMM 3, 58 (1976)

Condutores orgânicos fortemente bi-dimensionais



Teoria de ondas de spin

$$H = J \sum_{\langle ij \rangle} \mathbf{S}_i \cdot \mathbf{S}_j$$

- CASO $J < 0 \Rightarrow$ FM
- BAIXAS TEMPERATURAS, DENTRO DA FASE ORDENADA.
- CONSIDERAR S QUALQUER

SIMETRIA: INVARIANTE POR ROTAÇÕES

GLOBAIS DOS SPINS. MATEMATICAMENTE:

$$\vec{S}_T = \sum_i \vec{S}_i \Rightarrow [H, \vec{S}_T] = 0 \text{ (PROVEM)}$$

OPERADOR UNITÁRIO DE ROTAÇÕES GLOBAIS:

$$U(\theta, \hat{m}) = \exp[i\theta \vec{S}_T \cdot \hat{m}] \Rightarrow \text{ROTAÇÃO DE } \theta \text{ EM TORNO DE } \hat{m}$$

$$U H U^{-1} = H \Rightarrow [U, H] = 0$$

PODEMOS DIAGONALIZAR \underline{H} , \vec{S}_+^2 , S_{Tz} SIMULTANEAMENTE: PODEMOS TRABALHAR EM SETORES DE S_{Tz} BEM DEFINIDOS. SE O SISTEMA TEM \underline{N} SÍTIOS:

$$S_{Tz} = NS \quad (\text{TODOS OS SPINS TEM } M=S)$$

$$S_{Tz} = (N-1)S + (S-1) = NS - 1$$

(TODOS OS SPINS MENOS UM TÊM $M=S$
E O DIFERENTE TEM $M=S-1$)

$$S_{Tz} = NS - 2$$

⋮

O ESTADO $|\uparrow \uparrow \uparrow \dots \rangle$ E' AUTO-ESTADO DE \underline{H} E E' O ESTADO FUNDAMENTAL

$$\vec{S}_i \cdot \vec{S}_j = \frac{1}{2} (\underbrace{S_i^+ S_j^- + S_i^- S_j^+}_{S_{ix} S_{jx} + S_{iy} S_{jy}}) + S_{iz} S_{jz}$$

$$\left[\frac{1}{2} (S_i^+ S_j^- + \text{h.c.}) + S_{iz} S_{jz} \right] | \uparrow \uparrow \dots \uparrow \rangle = S^2 | \uparrow \uparrow \dots \uparrow \rangle$$

$$S_i^+ | m = s \rangle = 0$$

$$\Rightarrow \left(H = -J \sum_{\langle ij \rangle} \vec{S}_i \cdot \vec{S}_j \right) | \uparrow \uparrow \dots \uparrow \rangle = -J S^2 \frac{Nz}{2} | \uparrow \uparrow \dots \uparrow \rangle$$

ONDE z É O NÚMERO DE LOS VIZINHOS.

QUALQUER DESVIO DE m DE s PARA $s-p$ AUMENTA ESSA ENERGIA:

$$E_0 = - \frac{JNS^2z}{2}$$

VAMOS CONSIDERAR "UM SPIN FLIP":

$$M_i \rightarrow S \rightarrow S-1$$

$$\frac{1}{2} [S_i^+ S_i^- + h.c.] |\uparrow\downarrow\rangle \quad (\text{SPIN } S = 1/2)$$

$$= \frac{1}{2} |\downarrow\uparrow\rangle$$

O TERMO $S^+ S^-$ TENDE A DELOCALIZAR
ESSE ÚNICO SPIN FLIP E OS AUTO-ESTADOS
DE H SERÃO "ONDAS PLANAS" COM
MOMENTO \vec{k} :

$$|\vec{k}\rangle = \frac{1}{\sqrt{N}} \sum_i e^{i\vec{k}\cdot\vec{R}_i} |\uparrow\uparrow\dots, i=\downarrow, \uparrow\uparrow\rangle$$

\Rightarrow "ONDA DE SPIN" \checkmark SOLUÇÃO EXATA
NO SETOR DE 1 S.F.

OS SETORES DE UM NÚMERO FINITO DE SPIN FLIPS NÃO PERMITEM SOLUÇÃO EXATA. SE FOCARMOS NO REGIME EM QUE A DENSIDADE DE SPIN FLIPS É BAIXA PODEMOS TRATAR O SISTEMA COMO UM GÁS FRACAMENTE INTERAGENTE DE "ONDAS DE SPINS"

Transformação de Holstein-Primakoff

MAPEAR ESTADOS E OPERADORES EM UM SISTEMA BOSÔNICO EQUIVALENTE. PARA UM DADO SÍTIO:

ESTADOS:

$$\begin{array}{l} |S\rangle \longrightarrow |0\rangle \\ |S-1\rangle \longrightarrow |1\rangle \\ |S-2\rangle \longrightarrow |2\rangle \\ \vdots \\ |S\rangle \longrightarrow |2S\rangle \end{array}$$

$|S\rangle \quad \delta = \{0, \dots, 2S\}$

$\boxed{\delta \equiv S-M}$

$$|0\rangle \text{ VÁCUO}, \quad |1\rangle = a^\dagger |0\rangle, \quad |2\rangle = \frac{(a^\dagger)^2}{\sqrt{2}} |0\rangle$$

$$\dots \quad |S\rangle = \frac{(a^\dagger)^S}{\sqrt{S!}} |0\rangle$$

OS ESPAÇOS DE HILBERT SÓ SÃO ISOMÓRFICOS SE $\delta = a^\dagger a \leq 2S$

OPERADORES:

$$S_z |M\rangle = M |M\rangle$$



$$S_z |S\rangle = (S - \delta) |S\rangle$$

$$= (S - a^\dagger a) |S\rangle$$

$$S_z \leftrightarrow S - a^\dagger a$$

$$S^\pm |M\rangle = \sqrt{(S \mp M)(S \pm M + 1)} |M \pm 1\rangle$$

$$S^\pm |S\rangle = \left\{ [S \mp (S - \delta)] [S \pm 1 \pm (S - \delta)] \right\}^{1/2} |S \mp 1\rangle$$

$$S^+ |S\rangle = \left\{ [\delta] [2S + 1 - \delta] \right\}^{1/2} |S - 1\rangle$$

$$S^+ |S\rangle = \sqrt{2S} \sqrt{1 - \frac{\delta - 1}{2S}} \sqrt{\delta} |S - 1\rangle$$

$$S^+ \leftrightarrow \sqrt{2S} \sqrt{1 - \frac{a^\dagger a}{2S}} a; \quad S^- \leftrightarrow \sqrt{2S} a^\dagger \sqrt{1 - \frac{a^\dagger a}{2S}}$$

MAIS RIGOROSAMENTE, PROVEN QUE AS ASSO-
CIAÇÕES ACIMA SATISFAZEM A ÁLGEBRA DE
SPIN.

PARA UMA REDE DE SPINS: $a, a^\dagger \rightarrow a_i, a_i^\dagger$

LEVANDO EM H: $S_{ij} \rightarrow S - a_i^\dagger a_i$

TRANSFORMAÇÃO DE $S_i^+ \rightarrow \sqrt{2S} \sqrt{1 - \frac{a_i^\dagger a_i}{2S}} a_i$

HOLSTEIN-PRIMAKOFF: $S_i^- \rightarrow \sqrt{2S} a_i^\dagger \sqrt{1 - \frac{a_i^\dagger a_i}{2S}}$

$$\sum_{\langle ij \rangle} S_{ij} S_{ij} = \sum_{\langle ij \rangle} (S - \hat{m}_i)(S - \hat{m}_j) = \frac{Nz}{2} S^2 - S \left[\sum_{\langle ij \rangle} (\hat{m}_i + \hat{m}_j) \right]$$

$$+ \sum_{\langle ij \rangle} \hat{m}_i \hat{m}_j = \frac{NS^2 z}{2} - Sz \sum_i \hat{m}_i + \sum_{\langle ij \rangle} \hat{m}_i \hat{m}_j$$

NOTE A ORDEM DECRESCENTE EM S O QUE
SUGERE UMA EXPANSÃO SEMI-CLÁSSICA EM $(\frac{1}{S})$.

$$\frac{1}{2} \sum_{\langle ij \rangle} (S_i^\dagger S_j^\dagger + h.c.) = \frac{1}{2} \sum_{\langle ij \rangle} \left[(2S) \left[1 - \frac{\hat{m}_i}{2S} \right]^{1/2} a_i a_j^\dagger \left[1 - \frac{\hat{m}_j}{2S} \right]^{1/2} \right.$$

+ h.c.]

APROXIMAÇÕES NO REGIME: $\langle m_i \rangle \ll 2S$ E/OU

$$\frac{1}{S} \ll 1$$

$$H \approx \underbrace{-\frac{JNS^2}{2}}_{E^0} + JS \sum_i \hat{m}_i - JS \sum_{\langle ij \rangle} (a_i a_j^\dagger + h.c.) + O(S^0)$$

$$= E^0 + JS \sum_i \hat{m}_i - JS \sum_{\langle ij \rangle} (a_i^\dagger a_j + h.c.) + O(S^0)$$

SOLUÇÃO POR TRANSF. DE FOURIER:

$$a_k^\dagger = \frac{1}{\sqrt{N}} \sum_i e^{i\vec{k} \cdot \vec{R}_i} a_i^\dagger, \dots$$

$$H = E_0 + JSz \sum_{\vec{k}} a_{\vec{k}}^{\dagger} a_{\vec{k}} - JS \sum_{\vec{k}} \gamma_{\vec{k}} a_{\vec{k}}^{\dagger} a_{\vec{k}}$$

$$\gamma_{\vec{k}} = \left(\sum_{\langle ij \rangle} e^{i\vec{k} \cdot \vec{R}_{ij}} + c.c. \right) = 2 (\cos k_x + \cos k_y + \cos k_z)$$

(d=3)

$$H = E_0 + \sum_{\vec{k}} \epsilon_{\vec{k}} a_{\vec{k}}^{\dagger} a_{\vec{k}}$$

$$\epsilon_{\vec{k}} = JSz \left[1 - \frac{1}{z} \gamma_{\vec{k}} \right] = JSz \left[1 - \frac{z}{z} (\cos k_x + \dots + \cos k_d) \right]$$

SE $k \ll 1$:

$$\epsilon_{\vec{k}} = JS \left[k_1^2 + k_2^2 + \dots + k_d^2 \right]$$

$$= JS |\vec{k}|^2$$

A DISPERSÃO DOS "MAGNONS" FOI QUADRÁTICA PARA k PEQUENO.

Sistema em equilíbrio à temperatura T

$$\langle \hat{n}_{\vec{k}} \rangle = \langle a_{\vec{k}}^\dagger a_{\vec{k}} \rangle = \frac{1}{e^{\beta \epsilon_{\vec{k}}} - 1} = b(\epsilon_{\vec{k}}) \text{ (PLANCK)}$$

BÓSONS COM POTENCIAL QUÍMICO $\mu=0$. SEU NÚMERO MÉDIO É DETERMINADO APENAS PELA TEMPERATURA.

$$U(T) = E_0 + \sum_{\vec{k}} \epsilon_{\vec{k}} \langle \hat{n}_{\vec{k}} \rangle = E_0 + V \int \frac{d^D k}{(2\pi)^D} \frac{\epsilon_{\vec{k}}}{e^{\beta \epsilon_{\vec{k}}} - 1}$$

SE $T \ll J$:

$$\Delta U(T) = V \int \frac{d^D k}{(2\pi)^D} \frac{J S k^2}{e^{\beta J S k^2} - 1}$$

$$\vec{x} = \sqrt{\beta J S} \vec{k}$$

$$\text{EM 3D: } \Delta U(T) \propto \int d^3 x \frac{x^2}{e^{x^2} - 1} (\beta J S)^{-5/2} \propto T^{5/2}$$

$$C(T) = \frac{\partial \Delta U}{\partial T} \propto T^{3/2}$$

MAGNETIZAÇÃO: $M_z = g\mu_B \sum_i \langle \mu_i \rangle$

$$= g\mu_B \sum_i [S - \langle a_i^\dagger a_i \rangle]$$

$$= g\mu_B NS - g\mu_B \sum_{\vec{k}} \langle \hat{n}_{\vec{k}} \rangle$$

$$\Delta M(T) = -M_z(T) + M_z(0) = g\mu_B \sum_{\vec{k}} \langle \hat{n}_{\vec{k}} \rangle$$

$$= g\mu_B V \int \frac{d^3k}{(2\pi)^3} \frac{1}{e^{\beta \epsilon_{\vec{k}}} - 1}$$

$T \ll T_D$ (3D):

$$\Delta M(T) \propto \int d^3x \frac{1}{e^{x^2} - 1} (\beta T S)^{-3/2} \propto T^{3/2}$$

PARA D GÊNÉRICO: $T \ll T_c$

$$\Delta H(T) \propto \int d^D k \frac{1}{\beta J S k^2 - 1} \underset{T \ll T_c}{\sim} \int_0^\Lambda \frac{k^{(D-1)} dk}{k^2}$$

$$\sim \int_0^\Lambda k^{(D-3)} dk$$

$D \leq 2$: A INTEGRAL DIVERGE EM $k \rightarrow 0$

ESSA DIVERGÊNCIA SUGERE QUE A CORREÇÃO À MAGNETIZAÇÃO DIVERGE EM $D \leq 2$ COMO VIMOS NO CASO DOS BOGOLIUBONS.

TEOREMA RIGOROSO DE "MERMIN-WAGNER"

Dispersão de magnons num FM

PRL 108, 197205 (2012)

PHYSICAL REVIEW LETTERS

week ending
11 MAY 2012

Magnon Lifetimes on the Fe(110) Surface: The Role of Spin-Orbit Coupling

Kh. Zakeri,* Y. Zhang, T.-H. Chuang, and J. Kirschner

Max-Planck-Institut für Mikrostrukturphysik, Weinberg 2, 06120 Halle, Germany

(Received 16 January 2012; published 9 May 2012)

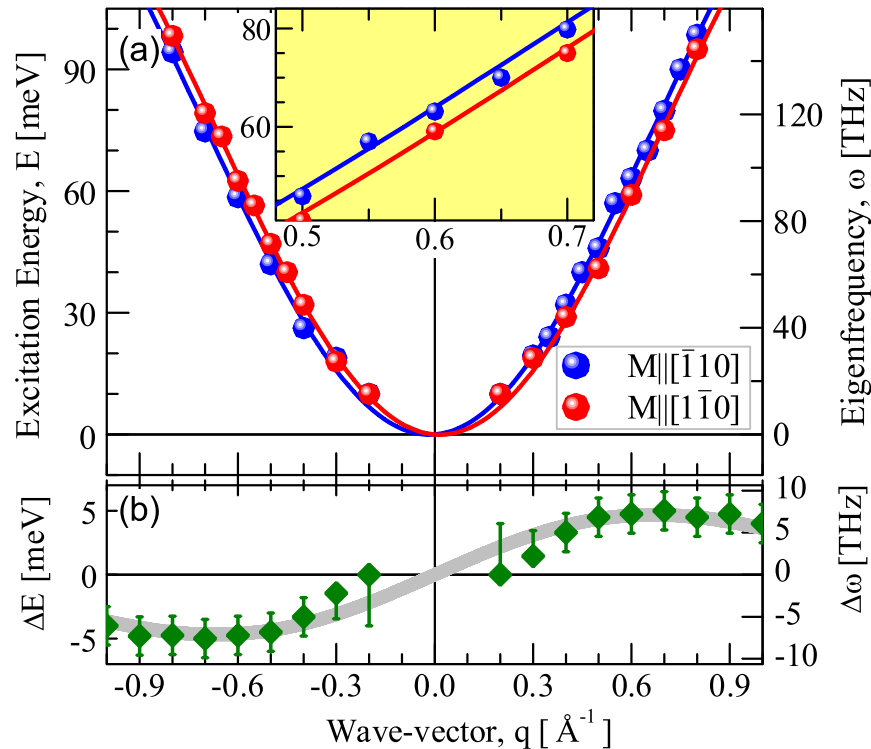


FIG. 1 (color online). (a) Magnon dispersion relation measured on a 2 ML Fe on W(110) at room temperature and for two different magnetization directions. The inset shows a magnified part of the graph for a smaller energy and wave-vector window. (b) The energy splitting defined as $\Delta E(q) = E_{M_{||}[\bar{1}10]}(q) - E_{M_{||}[1\bar{1}0]}(q)$ obtained from (a). The symbols represent the experimental results, while the solid lines represent the fits based on the extended Heisenberg spin Hamiltonian.

Dispersão de magnons num FM

Magnon spectrum and related finite-temperature magnetic properties: A first-principle approach

S. V. Halilov, A. Y. Perlov, P. M. Oppeneer and H. Eschrig

Europhys. Lett., **39**, 91-96 (1997)

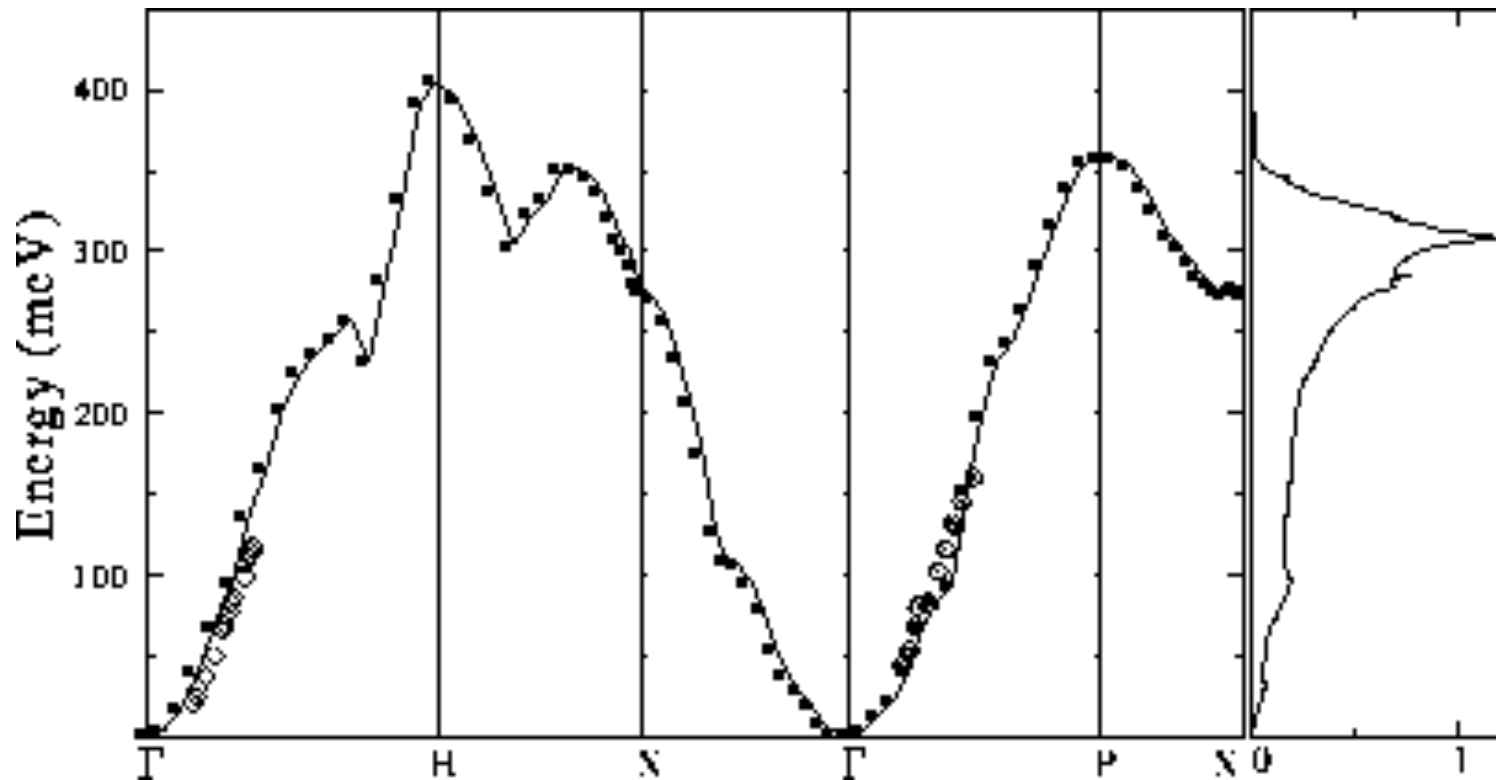
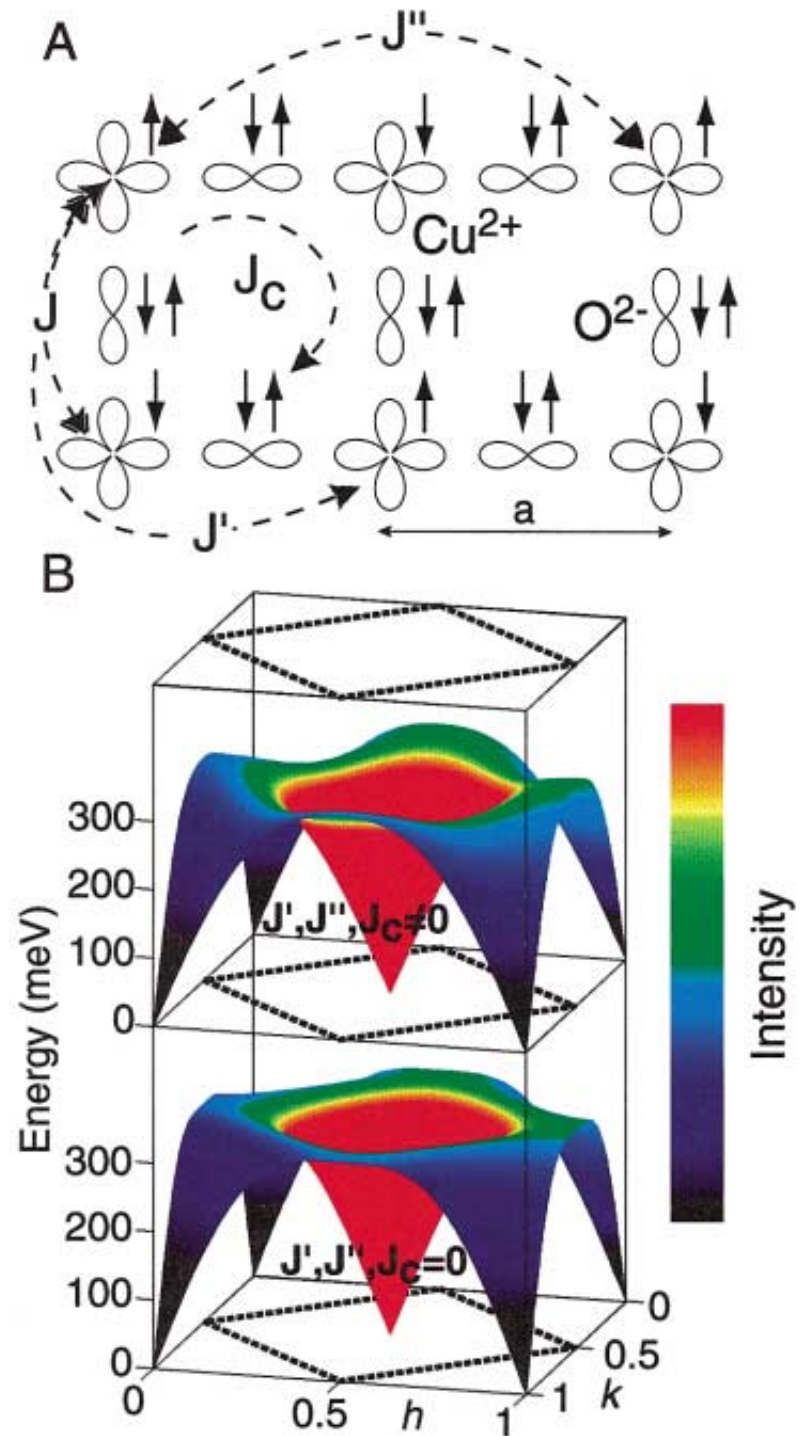


Figure 1: Magnon dispersions of bcc Fe for high-symmetry directions. Experimental data, for pure Fe at 10 K: [20], and for Fe (12 Si) at room temperature: [22]. Calculated dispersions are depicted by solid circles and line. The right-hand panel shows the calculated magnon total density of states (in states/(meVcell)). Note the Kohn-like anomalies ("cusps") in the theoretical spectrum.

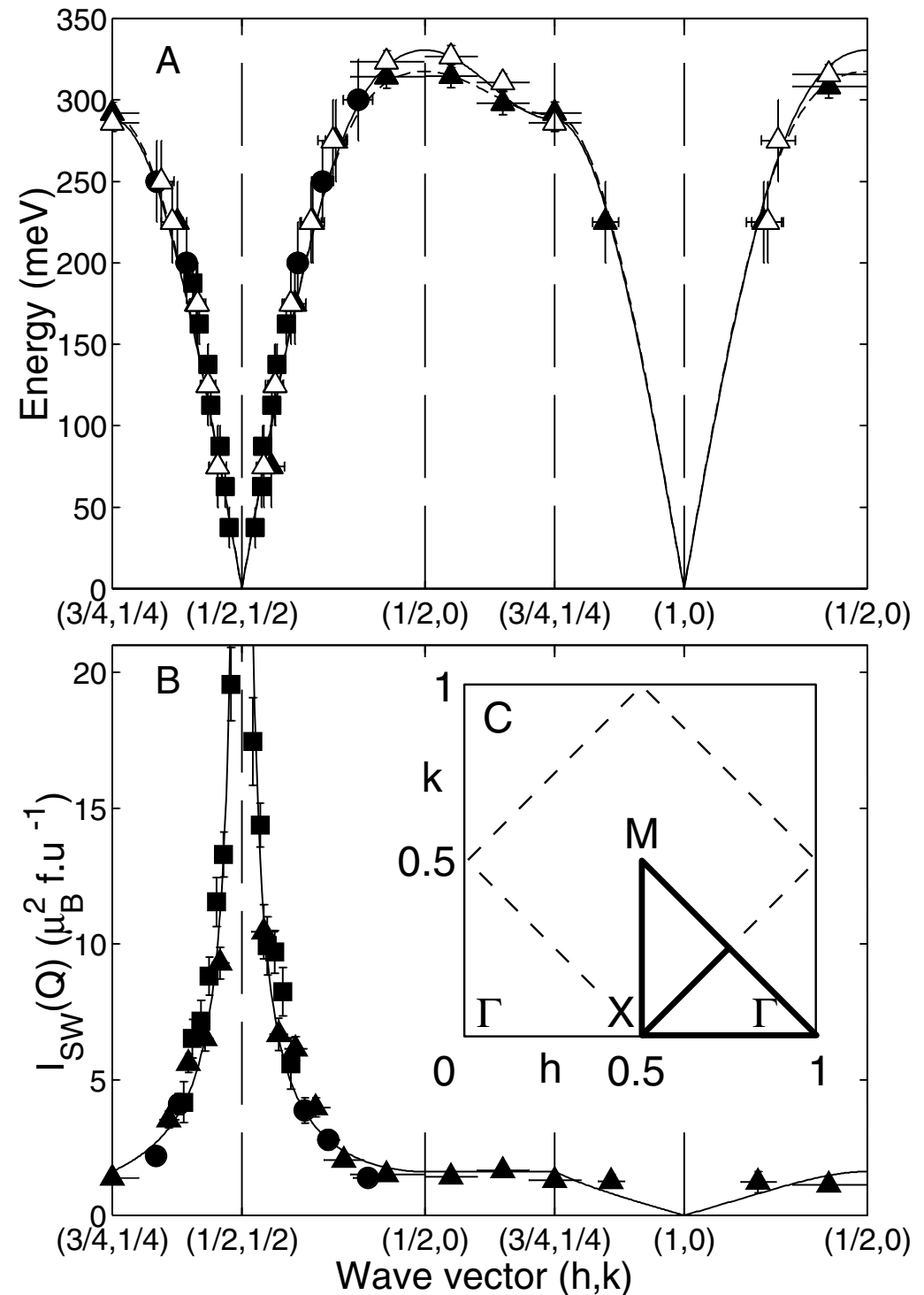
Magnons em um AFM

Spin waves and electronic interactions in La_2CuO_4 , R. Coldea *et al.*, Phys. Rev. Lett. **86**, 5377 (2001)

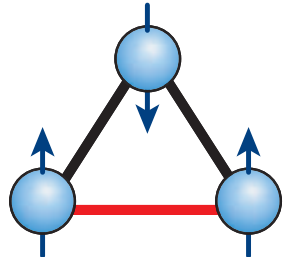
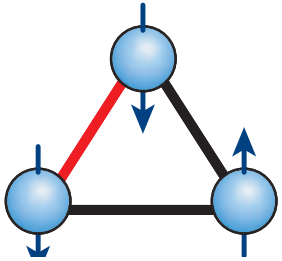
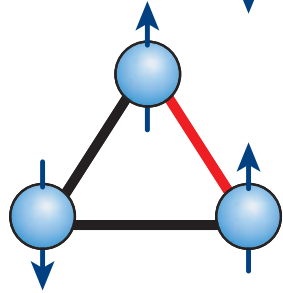
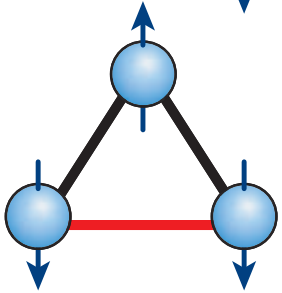
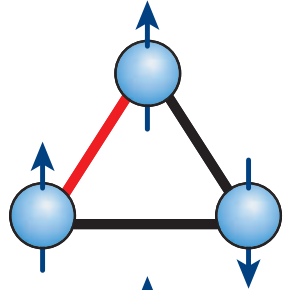
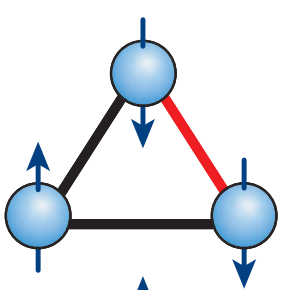


Magnons em um AFM

Spin waves and electronic interactions in La_2CuO_4 , R. Coldea *et al.*, Phys. Rev. Lett. **86**, 5377 (2001)



Frustração



Frustração

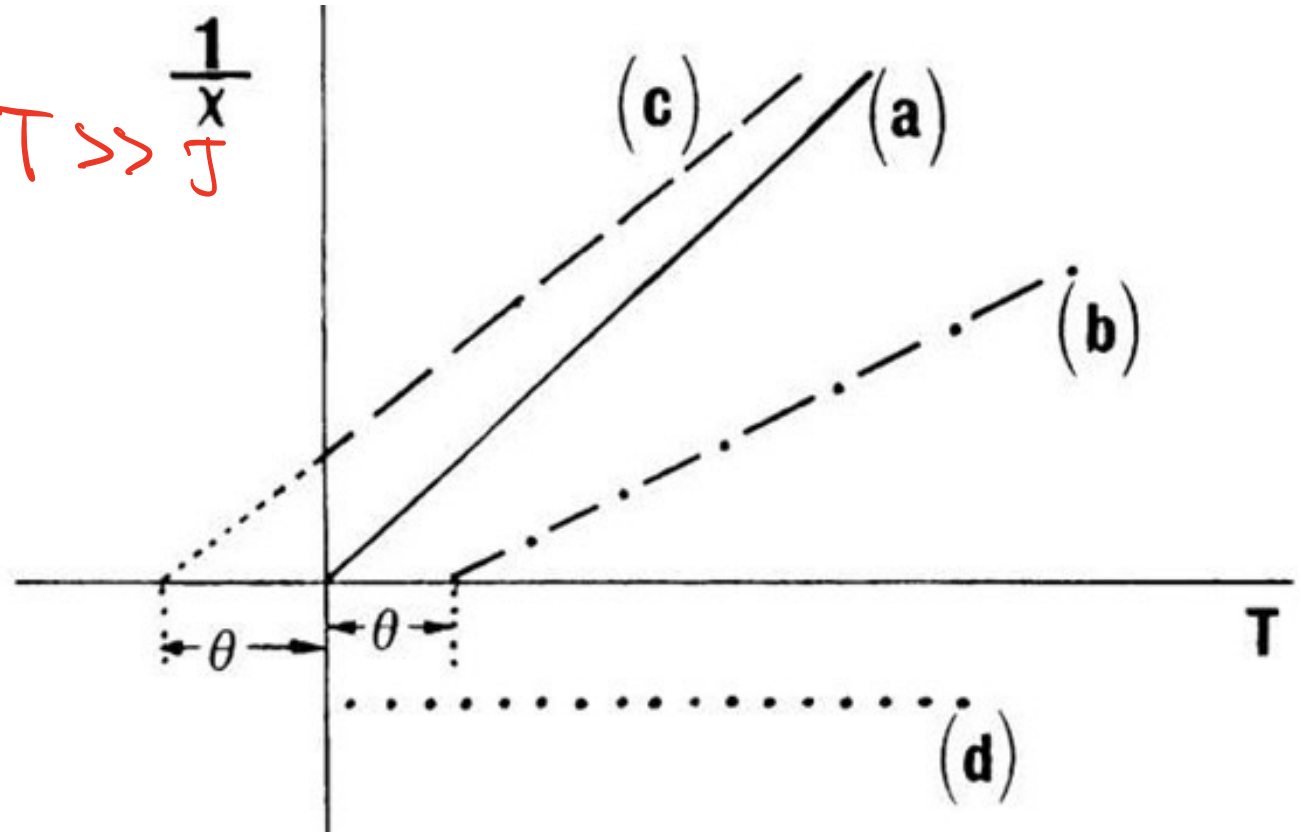
Lei de Curie-Weiss

$$\chi = \frac{1}{T - \theta} \quad T \gg J$$

$$\theta \propto (-J)$$

$$\theta > 0 \quad \text{FM}$$

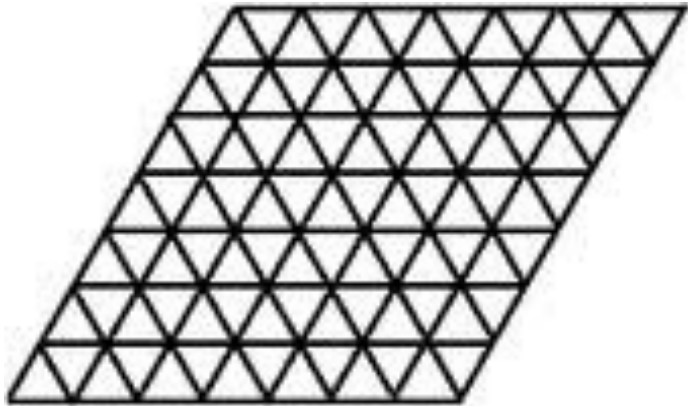
$$\theta < 0 \quad \text{AFM}$$



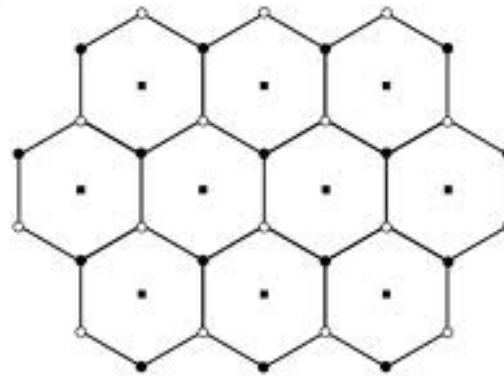
MEDIDA DE FRUSTRAÇÃO: $\frac{\theta}{T_c}$

Algumas redes frustradas

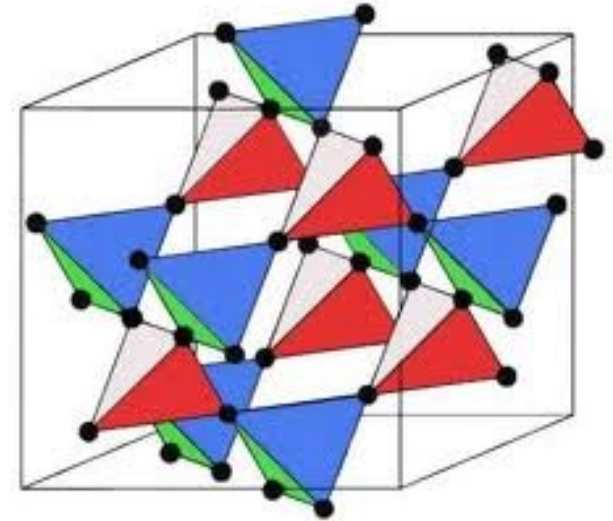
Triangular



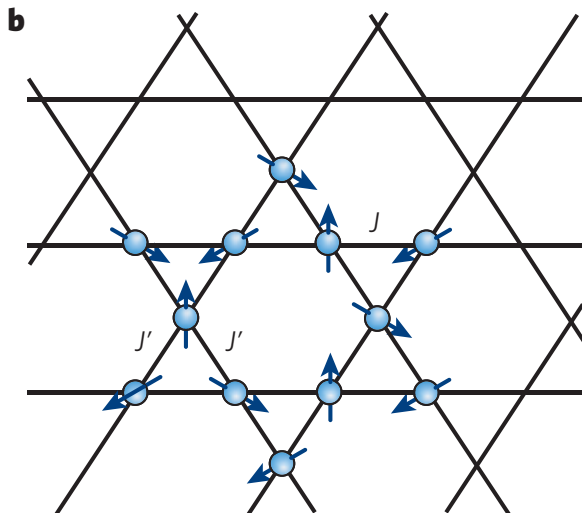
Hexagonal



Pirocloro



Kagomé



Frustração

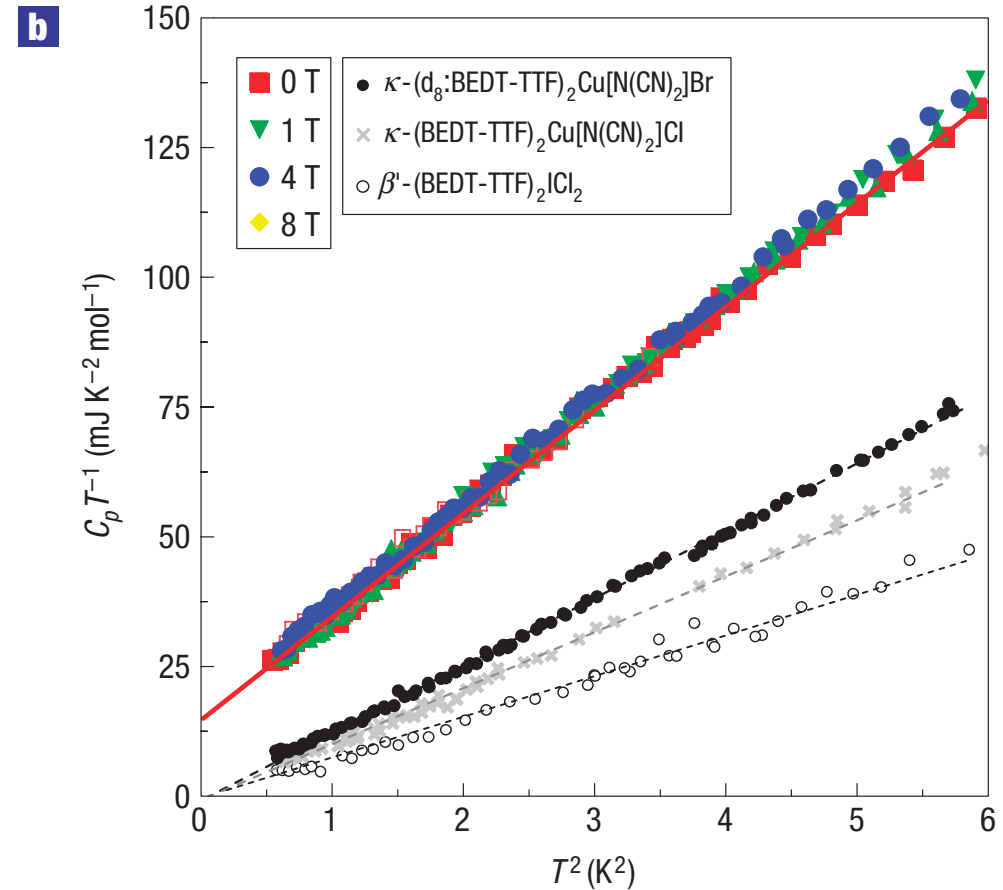
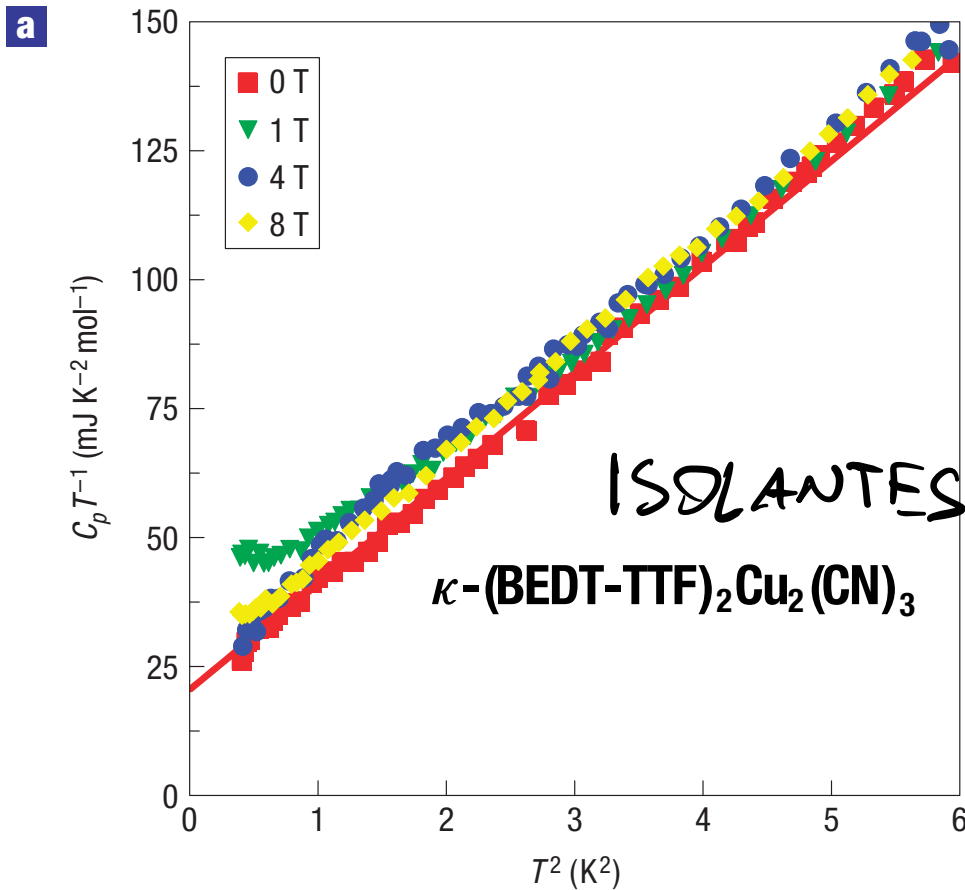
Table 1 | Some experimental materials studied in the search for QSLs

Material	Lattice	S	Θ_{CW} (K)	R^*	Status or explanation
κ -(BEDT-TTF) $_2$ Cu $_2$ (CN) $_3$	Triangular \dagger	$\frac{1}{2}$	-375 \ddagger	1.8	Possible QSL
EtMe $_3$ Sb[Pd(dmit) $_2$] $_2$	Triangular \dagger	$\frac{1}{2}$	-(375-325) \ddagger	?	Possible QSL
Cu $_3$ V $_2$ O $_7$ (OH) $_2$ •2H $_2$ O (volborthite)	Kagomé \dagger	$\frac{1}{2}$	-115	6	Magnetic
ZnCu $_3$ (OH) $_6$ Cl $_2$ (herbertsmithite)	Kagomé	$\frac{1}{2}$	-241	?	Possible QSL
BaCu $_3$ V $_2$ O $_8$ (OH) $_2$ (vesignieite)	Kagomé \dagger	$\frac{1}{2}$	-77	4	Possible QSL
Na $_4$ Ir $_3$ O $_8$	Hyperkagomé	$\frac{1}{2}$	-650	70	Possible QSL
Cs $_2$ CuCl $_4$	Triangular \dagger	$\frac{1}{2}$	-4	0	Dimensional reduction
FeSc $_2$ S $_4$	Diamond	2	-45	230	Quantum criticality

BEDT-TTF, bis(ethylenedithio)-tetrathiafulvalene; dmit, 1,3-dithiole-2-thione-4,5-dithiolate; Et, ethyl; Me, methyl. R^* is the Wilson ratio, which is defined in equation (1) in the main text. For EtMe $_3$ Sb[Pd(dmit) $_2$] $_2$ and ZnCu $_3$ (OH) $_6$ Cl $_2$, experimental data for the intrinsic low-temperature specific heat are not available, hence R is not determined. \dagger Some degree of spatial anisotropy is present, implying that $J' \neq J$ in Fig. 1a. \ddagger A theoretical Curie-Weiss temperature (Θ_{CW}) calculated from the high-temperature expansion for an $S = \frac{1}{2}$ triangular lattice; $\Theta_{CW} = 3J/2k_B$, using the J fitted to experiment.

L. Balents, Nature **464**, 199 (2010)

Calor específico linear em T



S. Yamashita *et al.*, Nature Phys. **4**, 459 (2008)

Calor específico linear em T é típico de férmions. Em algumas teorias, as excitações elementares são férmions neutros (“spinons”)

Conductividade térmica linear em T?

Essas mesmas excitações fermiônicas neutras (“spinons”) deveriam dar origem a $\kappa(T) \sim T$.
Mas o resultado experimental é exponencial (gap?)

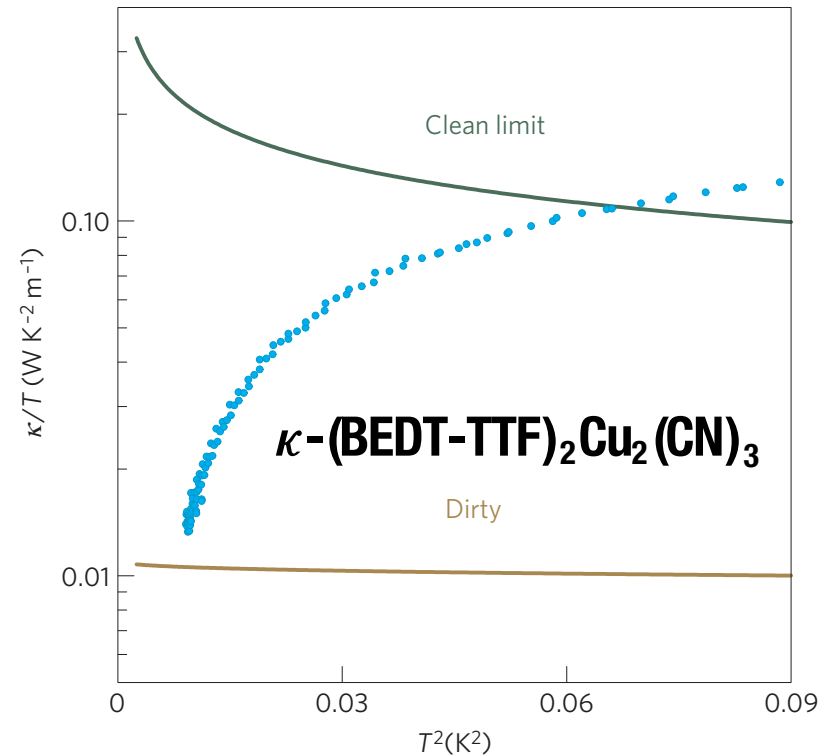


Figure 3 | Comparison between the data and the theory based on the gapless QSL with a spinon Fermi surface. κ/T data (sample A) in zero field (blue) plotted together with expected dependence of equation (1). The green line is for the clean limit ($1/\tau = 0$) and brown for a dirty case with the mean free path as short as $10a$, where a ($\simeq 0.8$ nm) is the lattice parameter of the triangular lattice.

M. Yamashita *et al.*, Nature Phys. **5**, 44 (2009)